

稀土掺杂 SiO_2 与 $\text{SiO}_2@\text{Au}$ 纳米球

刘四运^{1,2} 徐 嵬¹ 彭 卿^{*,1}

(¹ 清华大学化学系, 北京 100084)

(² 池州学院化学系, 池州 247000)

关键词: 荧光; SiO_2 纳米球; 稀土掺杂; Au 纳米粒子

中图分类号: O647.2 文献标识码: A 文章编号: 1001-4861(2007)09-1657-05

Lanthanide-doped SiO_2 and $\text{SiO}_2@\text{Au}$ Nanospheres

LIU Si-Yun^{1,2} XU Sheng¹ PENG Qing^{*,1}

(¹ Department of Chemistry, Tsinghua University, Beijing 100084)

(² Department of Chemistry, Chizhou College, Chizhou, Anhui 247000)

Abstract: By using EDTA-lanthanide (Eu^{3+} , Tb^{3+}) coordination compound as precursor, multicolor luminescent SiO_2 nanospheres were prepared. Also, without any pre-treatment to the surface of SiO_2 nanosphere, a facile strategy was developed for the synthesis of $\text{SiO}_2@\text{Au}$ core-shell nanospheres.

Key words: fluorescent; SiO_2 nanosphere; lanthanide-doped; Au nanoparticle

0 引言

荧光标记技术在化学、生物、医药领域有着广泛的应用。除传统的有机荧光染料外, 目前常用的荧光标记的材料主要有半导体量子点^[1,2]、稀土掺杂纳米晶、荧光高分子粒子^[3,4]和荧光 SiO_2 纳米球^[5~15]。与其他材料相比, 荧光 SiO_2 球具有光稳定性高、毒性低、亲水性好且生物相容、表面易修饰上与生物分子相连接的基团、尺寸均一可调等诸多优点, 因而特别适合作为生物标记材料,备受关注。根据包覆的荧光物质不同, SiO_2 球主要分为染料包覆的 SiO_2 纳米球^[5~7]、量子点包覆的 SiO_2 纳米球^[8,9]和稀土配合物包覆的 SiO_2 纳米球^[10,11]三大类。稀土配合物由于其良好的荧光特性(如荧光寿命长、量子产率高等), 可以进行时间分辨荧光检测, 有效地消除背景

干扰, 提高了检测的灵敏度, 可用于生物免疫的定性测量^[10]。结合 SiO_2 包覆带来的优点, 使得稀土配合物包覆的 SiO_2 纳米球在荧光生物标记中具有广阔的应用前景。

金属纳米颗粒, 特别是 $\text{Au}(\text{Ag})$ 颗粒具有很强的等离子体共振吸收现象, 因而被广泛地应用于表面增强拉曼光谱、非线性光学、生物传感等领域^[12]。将 $\text{Au}(\text{Ag})$ 颗粒修饰在绝缘的 SiO_2 球表面, 形成金属壳层, 通过调节内核直径和壳层厚度, 可以在可见光近红外光谱的范围内人为的调控 $\text{Au}(\text{Ag})$ 的等离子共振吸收频率^[13,14], 拓宽了 $\text{Au}(\text{Ag})$ 在光电学、生物学领域的应用前景。本工作分别制备了荧光性能良好的 SiO_2 包覆的稀土配合物发光纳米球和 $\text{SiO}_2@\text{Au}$ 的核-壳纳米结构, 并对其相关性能进行了研究。

收稿日期: 2007-04-15。收修改稿日期: 2007-07-17。

国家自然资金委员会资助项目(No.20401010)。

*通讯联系人。E-mail: pengqing@mail.tsinghua.edu.cn

第一作者: 刘四运, 男, 44岁, 副教授, 研究方向: 无机功能纳米材料。

1 实验部分

1.1 合成 Eu^{3+} , Tb^{3+} 掺杂的 SiO_2 荧光纳米球

$\text{Eu}(\text{EDTA})^-$ 溶液($0.1 \text{ mol}\cdot\text{L}^{-1}$)的配制:称取2 mmol(0.745 g)分析纯的 Na_2EDTA ,溶于10.0 mL水中,称取2 mmol(0.892 g)分析纯的 $\text{Eu}(\text{NO}_3)_3\cdot 6\text{H}_2\text{O}$,溶于5.0 mL水中,两溶液混合,再加入适量的去离子水,使溶液最后的总体积为20.0 mL,这样得到了 $0.1 \text{ mol}\cdot\text{L}^{-1}$ 的 $\text{Eu}(\text{EDTA})^-$ 溶液。稀释该溶液,配制 $0.01\sim 0.1 \text{ mol}\cdot\text{L}^{-1}$ 的 $\text{Eu}(\text{EDTA})^-$ 溶液待用。称取2 mmol(0.906 g)分析纯的 $\text{Tb}(\text{NO}_3)_3\cdot 6\text{H}_2\text{O}$,代替上面的 $\text{Eu}(\text{NO}_3)_3\cdot 6\text{H}_2\text{O}$,用相同的方法配制 $0.01\sim 0.1 \text{ mol}\cdot\text{L}^{-1}$ 的 $\text{Tb}(\text{EDTA})^-$ 溶液待用。

在磁力搅拌下,将环己烷(28 mL),TritonX-100(7 mL),正己醇(7 mL), $\text{Eu}(\text{EDTA})^-$ (2 mL, $0.1 \text{ mol}\cdot\text{L}^{-1}$)溶液,TEOS(4 mL)按顺序加入100 mL烧杯中,搅拌5 min形成透明的微乳液。向体系中滴加1 mL氨水(25%),常温下搅拌6 h。加入50 mL丙酮破乳,离心得到白色沉淀,用乙醇洗涤,产物于60 °C烘箱内烘干,得到 Eu^{3+} 掺杂的 SiO_2 球。保持其他条件不变,用 $\text{Tb}(\text{EDTA})^-$ (2 mL, $0.1 \text{ mol}\cdot\text{L}^{-1}$)溶液代替 $\text{Eu}(\text{EDTA})^-$ 溶液,则得到 Tb^{3+} 掺杂的 SiO_2 球。保持其他条件不变,用1 mL $0.1 \text{ mol}\cdot\text{L}^{-1}$ $\text{Tb}(\text{EDTA})^- + 1 \text{ mL } 0.1 \text{ mol}\cdot\text{L}^{-1}$ $\text{Eu}(\text{EDTA})^-$ 代替 $\text{Eu}(\text{EDTA})^-$ 溶液,则得到 Eu^{3+} , Tb^{3+} 共掺杂的 SiO_2 球。

1.2 SiO_2 球表面Au纳米颗粒的修饰

将1.000 g分析纯的 $\text{AuCl}_3\cdot \text{HCl}\cdot 4\text{H}_2\text{O}$ 用去离子水溶解,定容于100 mL的容量瓶中,配成 $24.3 \text{ mmol}\cdot\text{L}^{-1}$ 的 HAuCl_4 溶液。

合成直径为250 nm的 SiO_2 球:在磁力搅拌下,将42.0 mL乙醇,6.0 mL氨水(25%),2.5 mL TEOS按顺序加入100 mL的烧杯中,常温下搅拌2 h,得到白色乳状液体,离心,弃去上层液体,用乙醇重新分散低层白色产物。重复离心,洗涤3次,最后产物在60 °C烘箱内烘干。

称取0.12 g SiO_2 球,超声分散在40.0 mL的去离子水中,在磁力搅拌下,加入3.0 mL HAuCl_4 ($24.3 \text{ mmol}\cdot\text{L}^{-1}$)溶液,用氨水调节pH值~10.0,然后滴加0.8 mL甲醛,常温搅拌5 h,离心,得到第1次修饰的沉淀物。将第1次修饰的沉淀物重新超声分散在40.0 mL去离子水,重复第1次修饰步骤,得到第2次修饰的沉淀物。重复上述操作,得到第3次修饰的沉淀物。将产物用去离子水洗3遍,在60 °C的烘

箱内烘干。

1.3 样品表征

Eu^{3+} , Tb^{3+} 掺杂的 SiO_2 纳米球、Au纳米颗粒修饰的 SiO_2 球的形貌与尺寸由JEOL JEM-1200EX透射电镜(TEM)表征,钨灯丝加速电压为120 kV;X射线粉末衍射(XRD)在德国Bruker D8多晶X-射线衍射仪完成($\text{Cu K}\alpha$ 射线, $\lambda=0.15418 \text{ nm}$),扫描范围: $2\theta=10^\circ\sim 70^\circ$,扫描速度: $0.02^\circ\cdot\text{s}^{-1}$;固体荧光光谱在日立F-4500荧光光谱仪上测量,对于 Eu^{3+} 掺杂的 SiO_2 纳米球,激发光波长为396 nm,激发狭缝宽:10.0 nm,发射狭缝宽度:5.0 nm;对于 Tb^{3+} 掺杂的 SiO_2 纳米球,激发光波长为241 nm,激发狭缝宽度:2.5 nm,发射狭缝宽度:5.0 nm。

2 结果与讨论

2.1 Eu^{3+} , Tb^{3+} 掺杂的 SiO_2 荧光纳米球

图1为稀土离子掺杂的 SiO_2 纳米球的TEM图。我们可以看到 Eu^{3+} 掺杂的 SiO_2 胶体球单分散性较好,平均粒径为40 nm左右。 Tb^{3+} 掺杂的 SiO_2 胶体球的形貌和尺寸与 Eu^{3+} 掺杂的 SiO_2 胶体球相似。图2是 Eu^{3+} 掺杂的 SiO_2 胶体球(简写为 $\text{Eu}^{3+}\text{-SiO}_2$)的固体荧光光谱,激发光的波长为396 nm, $\text{Eu}^{3+}\text{-SiO}_2$ 发出肉眼可见,强度很高的红光,在光谱上表现为在580,594,615 nm处有3个荧光发射峰,分别对应了三价Eu的 $^5D_0\rightarrow ^7F_0$, $^5D_0\rightarrow ^7F_1$, $^5D_0\rightarrow ^7F_2$ 跃迁。其中最强的荧光峰位于615 nm处,是三价Eu特征的红光发射峰。

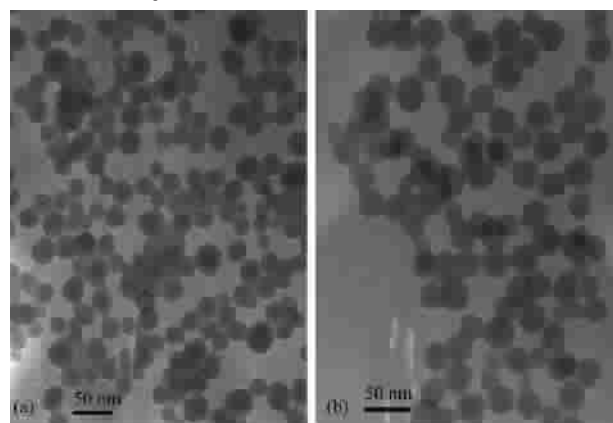


图1 Eu^{3+} (a)和 Tb^{3+} (b)掺杂的 SiO_2 纳米球的电镜照片

Fig.1 TEM images of Eu^{3+} (a) and Tb^{3+} (b) doped SiO_2 nanospheres

图3显示了 Tb^{3+} 掺杂的 SiO_2 纳米球的固体荧光光谱。在波长241 nm的光激发下,产物在500~650 nm的波长范围内有3个荧光峰,分别位于

547, 583, 622 nm, 对应了三价 Tb 的 $^5D_4 \rightarrow ^7F_5, ^5D_4 \rightarrow ^7F_4, ^5D_4 \rightarrow ^7F_3$ 跃迁。其中 Tb^{3+} 的特征绿色荧光峰(547 nm)强度最高, 我们以这个峰为对象, 考察了掺杂离子 $\text{Tb}(\text{EDTA})$ 浓度对荧光峰强的影响。图 3 中的 1,2 曲线分别代表了 $c_{\text{Tb}(\text{EDTA})}=0.025, 0.100 \text{ mol} \cdot \text{L}^{-1}$ 合成的 SiO_2 纳米球的荧光光谱。结果表明随着掺杂离子的浓度增大, 产物的荧光强度不断的增强。

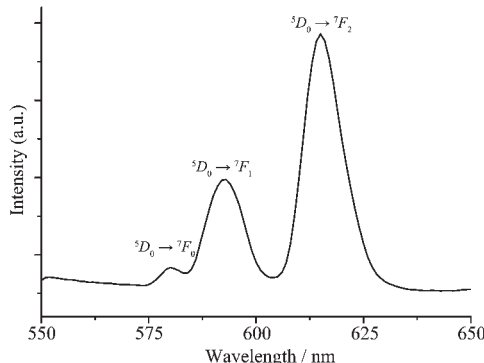


图 2 Eu^{3+} 掺杂的 SiO_2 纳米球粉末的发射光谱

Fig.2 Fluorescence spectra of Eu^{3+} -doped SiO_2 nanosphere powder

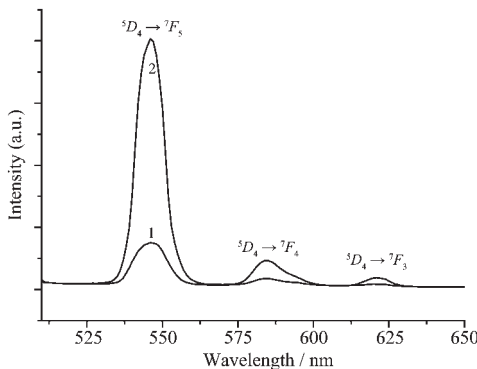


图 3 Tb^{3+} 掺杂的 SiO_2 纳米球粉末的发射光谱

Fig.3 Fluorescence spectra of Tb^{3+} -doped SiO_2 nanosphere powder

考虑到 Eu^{3+} 和 Tb^{3+} 在特定的激发波长下有各自特征颜色的荧光发射峰, 所以我们可以预期 Eu^{3+} 、 Tb^{3+} 双掺杂的 SiO_2 纳米球在不一样波长的激发下能够发出不同的荧光颜色。图 4 证实了这一点。用 396 nm 的光去激发 Eu^{3+} 、 Tb^{3+} 双掺杂的 SiO_2 (激发与发射狭缝宽度均为 5.0 nm), 产物只具备 Eu^{3+} 的 3 个荧光发射峰, 观察不到 Tb^{3+} 的 547 nm 特征峰的存在。此时的荧光光谱图 4a 和图 2 类似。将激发波长调到 241 nm 时(激发与发射狭缝宽度均为 5.0 nm), Eu^{3+} 、 Tb^{3+} 双掺杂的 SiO_2 主要表现 Tb^{3+} 的荧光光谱性质。发射绿光的 547 nm 荧光峰占了绝对主导的地位。图 4 与图 3 的峰形相近。由此, 我们可以看到

Eu^{3+} 、 Tb^{3+} 双掺杂的 SiO_2 很好的保留了 Eu^{3+} 和 Tb^{3+} 的光谱性质, 而且在特定的波长激发下, 两套光谱图不会互相干扰。

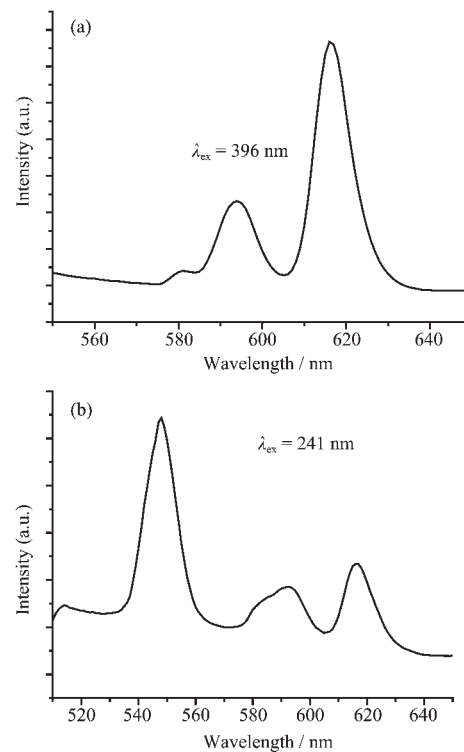


图 4 Eu^{3+} 、 Tb^{3+} 共掺杂的 SiO_2 纳米球粉末的发射光谱

Fig.4 Emission spectra of Eu^{3+} - Tb^{3+} -codoped SiO_2 nanosphere powder

2.2 Au 纳米颗粒修饰的 SiO_2 球

产物的 XRD 图如图 5 显示, 其中 2θ 在 15° ~ 38° 的峰包是由非晶的 SiO_2 造成的。图中出现了 Au 面心立方相的 (111), (200), (220) 晶面衍射峰(PDF 卡: 04-0784), 证明了产物中有 Au 生成。图 6(a,b,c, d) 为 SiO_2 表面被 Au 纳米颗粒修饰的 TEM 图。图 6a 显示第一次修饰后生成的 Au 颗粒主要分布在 SiO_2

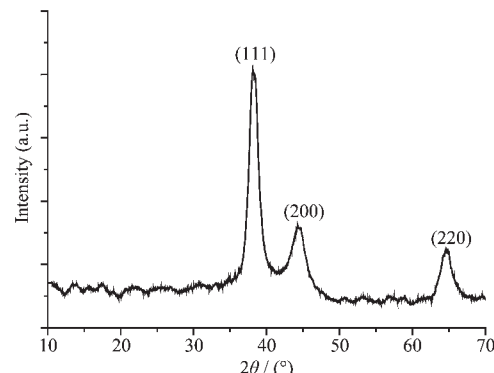
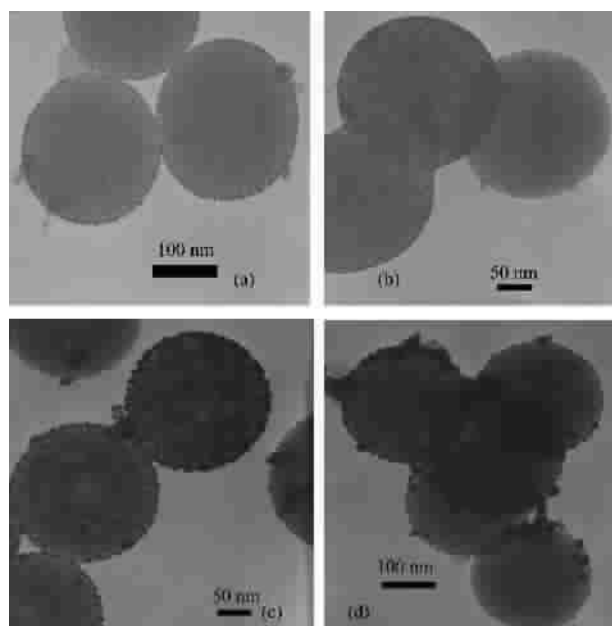


图 5 $\text{SiO}_2@\text{Au}$ 纳米颗的 XRD 图

Fig.5 XRD pattern of $\text{SiO}_2@\text{Au}$ nanospheres

球的表面,形成孤立的小岛,在电镜下没有观察到Au颗粒散落在球外的现象,此时,修饰在 SiO_2 球表面绝大多数的Au颗粒粒径在2~4 nm之间。经过第2次修饰后, SiO_2 表面的Au颗粒尺寸普遍比第1次修饰后的大,粒径分布在6~9 nm之间,相当一部分 SiO_2 球表面的Au颗粒开始互相连接(图6b)。在第3次修饰后,大部分Au颗粒都和邻近的颗粒连接了起来,在 SiO_2 球表面形成致密的网状结构,有成壳的趋势(图6c)。



Modification times: (a) one; (b) two; (c) three; (d) one; Amount of SiO_2 used: (a), (b) and (c) 0.12 g; (d) 0.012 g

图6 $\text{SiO}_2@{\text{Au}}$ 纳米颗粒的TEM图

Fig.6 TEM image of $\text{SiO}_2@{\text{Au}}$ nanospheres

实验发现,体系中氨水的存在对Au颗粒修饰到 SiO_2 的表面有非常大的影响。保持1.2中其他条件不变,不加氨水进入体系,此时测得溶液的pH值为~3.5,反应5 h后,离心得到白色沉淀。重新将其分散在离心液中,搅拌24 h后,离心所得的沉淀仍为白色(SiO_2 的本体颜色),离心液呈现现金黄色,和 HAuCl_4 颜色相同。将沉淀用TEM表征, SiO_2 球表面没有任何Au颗粒,球外也没有观测到Au的颗粒。

考虑到沉淀和离心液的颜色分别和反应前的反应物颜色相同,所以在这个条件下, HAuCl_4 几乎没有被甲醛还原。保持1.2中其他条件不变,用0.1 mol·L⁻¹ NaOH代替氨水调体系的pH值到8.5,当甲醛刚滴加到体系后,溶液的颜色马上变黑,反应5 h后,离心得到褐色沉淀,TEM观察到绝大多数的Au颗粒都散落在 SiO_2 球的外部,也没有达到将Au修饰到 SiO_2 表面的目的。只有在体系存在氨水的情况下,Au颗粒才能较均匀的修饰到 SiO_2 球的表面上,取得令人满意的结果。在用氨水调体系pH值的时候,我们发现当体系pH值为~5合成的 SiO_2 球表面包覆的Au较少,很多球呈裸露状态。当pH增大至~8,就可以达到比较多的包覆量,第1次修饰后的包覆情况如图6a。当pH进一步增加至11时,包覆情况与pH值5~8相近,Au都以颗粒的形式修饰在 SiO_2 表面。

根据以上的实验结果,我们提出了一个以 SiO_2 胶体球表面的电荷为基础的形成机理(图7)。在pH>3的水溶液中, SiO_2 的表面开始带负电荷,而且随着体系pH值的增加,负电荷的密度越大^[17]。向体系引入氨水,一方面使得溶液pH值增大, SiO_2 带上较多负电荷,另一方面氨水与 HAuCl_4 配位,使得 $\text{Au}(\text{NH}_3)_4^{3+}$ 离子都紧紧的吸附在 SiO_2 球的表面上。在这种情况下,经甲醛还原后得到的Au纳米颗粒都包覆在 SiO_2 球的表面。由于这个反应在碱性条件下进行的比较快,所以在pH≥8条件下得到的Au包覆量比较大。但是若体系中没有氨水,在弱酸性条件下, HAuCl_4 与甲醛反应将会很慢,即使生成Au颗粒也和 SiO_2 表面没有作用,不能使Au颗粒固定在球 SiO_2 表面。用NaOH调整体系的pH值到弱碱性,尽管可使 HAuCl_4 与甲醛反应很快地进行,但是水溶液中的 AuCl_4^- 或 $\text{Au}(\text{OH})_3$ 表面都带负电荷,与 SiO_2 表面电性相同而排斥,生成的Au颗粒主要分散在溶液中。

体系中氨水的存在使得1.2条件下还原生成的Au纳米颗粒都修饰在了 SiO_2 球的表面。若 SiO_2 的

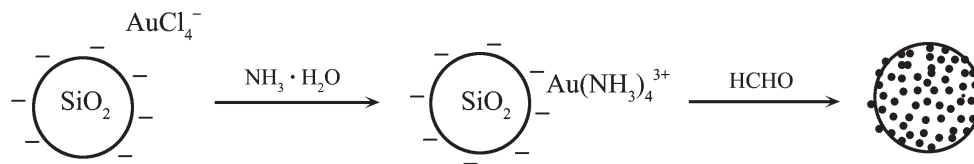


图7 $\text{SiO}_2@{\text{Au}}$ 纳米球的制备示意图

Fig.7 Schematics for the preparation of $\text{SiO}_2@{\text{Au}}$ nanospheres

用量过少的话, $\text{Au}(\text{NH}_3)_4^{3+}$ 离子只有一部分吸附在 SiO_2 表面, 其余的都分散在溶液中, 因此还原后, 不仅在 SiO_2 表面上有生成的 Au 颗粒, 而且在溶液中也大量存在。图 6d 是保持 1.2 其他条件不变, 把 SiO_2 的用量减小到 0.012 g 时修饰一次后得到的产物形貌图。在这个条件下, SiO_2 交接处的覆盖量似乎比图 6c 还要大, 但也没有完全成壳。因此, 要得到比较干净的修饰, 必须注意 SiO_2 球和 HAuCl_4 的用量。为达到比较大的包覆量, 可以采用浓度稀的反应液重复修饰的方法。

3 结 论

将 $\text{Eu}(\text{EDTA})^-$ 和 $\text{Tb}(\text{EDTA})^-$ 溶液作为水相引入微乳体系, 制备了 Eu^{3+} 掺杂、 Tb^{3+} 掺杂、 Eu^{3+} 、 Tb^{3+} 双掺的荧光纳米 SiO_2 球, 其中 Eu^{3+} 掺杂的 SiO_2 球最强的荧光峰位于 615 nm 处, Tb^{3+} 掺杂的 SiO_2 球最强的荧光峰位于 547 nm 处, 分别体现了 Eu^{3+} 、 Tb^{3+} 的特征发光颜色。 Eu^{3+} 、 Tb^{3+} 双掺杂的 SiO_2 纳米球很好的保留了 Eu^{3+} 和 Tb^{3+} 的光谱性质, 所以在不一样波长的激发下能够发出不同的荧光。利用 SiO_2 球胶体粒子表面带电的性质, 向体系引入氨水, 一方面使得溶液 pH 值增大, SiO_2 带上较多负电荷, 另一方面氨水与 HAuCl_4 络合, 生成 $\text{Au}(\text{NH}_3)_4^{3+}$ 离子, 正负电荷的吸引作用, 使得 $\text{Au}(\text{NH}_3)_4^{3+}$ 离子都紧紧的吸附在 SiO_2 球的表面, 还原后得到的 Au 纳米颗粒均包覆在 SiO_2 球的表面, 最终修饰效果较好, 通过调节金属壳层的厚度与 SiO_2 内核的直径来改变金属的光学共振波长, 可用于光子晶体的设计中。

参考文献:

- [1] Bruchez M, Moronne M, Gin P, et al. *Science*, **1998**, *281*:2013~2016
- [2] Chan W C W, Nie S M. *Science*, **1998**, *281*:2016~2018
- [3] Taylor J R, Fang M M, Nie S M. *Anal. Chem.*, **2000**, *72*:1979~1986
- [4] Bradley M, Ashokkumar M, Grieser F. *J. Am. Chem. Soc.*, **2003**, *125*:525~529
- [5] Blaaderen A V, Vrij A. *Langmuir*, **1992**, *8*:2921~2931
- [6] Santra S, Wang K, Tapec R, et al. *J. Biomed. Opt.*, **2001**, *6*:160~166
- [7] Zhao X J, Bagwe R P, Tan W H. *Adv. Mater.*, **2004**, *16*:173~176
- [8] Chan Y, Zimmer J P, Stroh M, et al. *Adv. Mater.*, **2004**, *16*:2092~2097
- [9] Nann T, Mulvaney P. *Agnew. Chem. Int. Ed.*, **2004**, *43*:5393~5396
- [10] Ye Z Q, Tan M Q, Wang G L, et al. *J. Mater. Chem.*, **2004**, *14*:851~856
- [11] Ye Z Q, Tan M Q, Wang G L, et al. *Anal. Chem.*, **2004**, *76*:513~518
- [12] Lim Y T, Park O O, Jung H T. *J. Colloid Interface Sci.*, **2003**, *263*:449~453
- [13] Oldenburg S J, Averitt R D, Westcott S L, et al. *Chem. Phys. Lett.*, **1998**, *288*:243~247
- [14] Jackson J B, Halas N J. *J. Phys. Chem. B*, **2001**, *105*:2743~2746
- [15] Pol V G, Gedanken A, Calderon-Moreno J. *Chem. Mater.*, **2003**, *15*:1111~1118
- [16] Hofmeister H, Miclea P T, Morke W. *Part. Part. Syst. Charact.*, **2002**, *19*:359~365
- [17] Schwarz S, Lunkwitz K, Keßler B, et al. *Colloid Surface A*, **2000**, *163*:17~27